

窒素を含む 20% Cr-Fe 合金の純粹窒素中における 高温度の窒素吸収について*

(耐熱材料における合金元素としての窒素の作用について—VI)

岡 本 正 三**・宮 川 大 海***

On the High Temperature Nitrogen-Absorption of Nitrogen-Bearing 20% Cr-Fe Alloys in Pure Nitrogen.

(On the function of nitrogen as an alloying element
in heat-resisting materials—VI)

Masazo Okamoto and Ohmi Miyakawa

Synopsis:

This paper deals with the influence of nitrogen content of 20% Cr-Fe alloys containing 0.04%N, 0.11%N, 0.23%N, 0.33%N, or 0.24%N plus 0.13%C on the austenite formation due to the nitrogen absorption of these alloys in one-atmospheric pure nitrogen. The austenite formation due to the nitrogen absorption and the thermal behavior of the formed austenite were clarified. The results obtained were as follows:

(1) The depth of the single austenite zone formed at the surface of 20% Cr-Fe alloys by the nitrogen absorption during the heating for 4 hours in the pure nitrogen at 1250°C was 0.4~0.6mm, and the nitrogen content at the surface zone was 0.5~0.6%. The weight increase due to the nitrogen absorption was decreased gradually as the nitrogen content of the alloys was increased from 0.04% to 0.33%. When 0.13%C was added to 20% Cr-Fe alloy containing 0.24%N, the nitrogen absorption was promoted.

(2) The single austenite zone at the surface was richer in carbon than the carbon content in the inner zone consisting of a mixture of both austenite and ferrite, which was presumed to be caused by the diffusion of carbon from the inner zone into the outer surface consisting of single austenite phase during the nitrogen absorption. As regards to the carbon content in the single austenite zone, it was found in the alloy containing 0.24%N plus 0.13%C that the surface zone was likely to have fairly lower carbon level than that in the inner zone.

(3) The austenite which was formed in the nitrogen bearing alloys by the nitrogen absorption at 1250°C was found to decompose into ferrite and Cr₂N during the furnace cooling. The change from ferrite to austenite on heating was found to occur at about 900°C~1050°C.

(4) It was found that the austenite retained by quenching the single austenite zone formed by the nitrogen absorption was sensible to the subzero treatment considerably, and the stabilization of the retained austenite during the holding at room temperature after the quenching was not pronounced.

(5) On the tempering at 600°C, such retained austenite became unstable, and decomposed rather rapidly by the tempering at 700°C or thereabouts.

I. 緒 言

第4報¹⁾において 20% Cr-Fe 合金をきわめて高純度の窒素雰囲気中で加熱した場合、素材のC量の増加は窒素吸収を容易にし生成オーステナイト相を増すことを明らかにし、さらにこの生成オーステナイト相の熱処理挙動とC量との関係について述べた。

本報では同じく 20% Cr-Fe 合金に対して C と同様

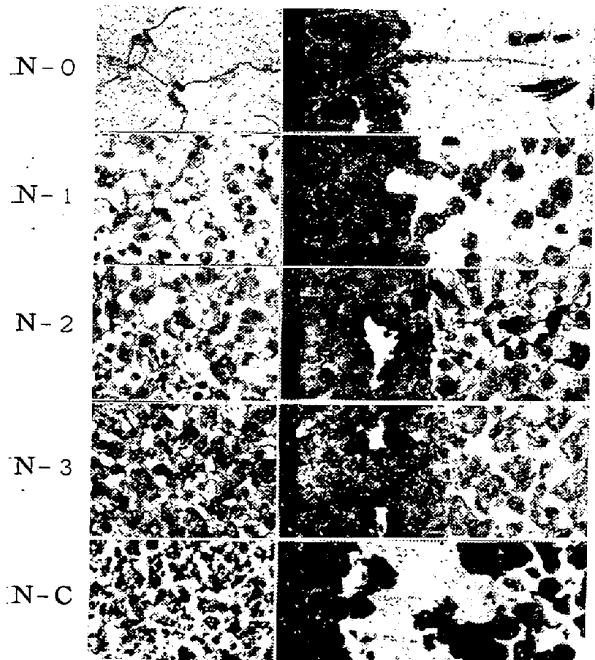
にオーステナイト生成元素であるNを単独あるいは不純物程度の少量のCと一緒に添加して窒素雰囲気中で加熱し、窒素の吸収によつて合金がさらにオーステナイト化する状況や生成オーステナイト相の熱処理挙動などを素材のN量およびC量との関係において検討した。

* 昭和34年4月本会講演大会にて発表

** 東京工業大学、工博 *** 東京都立大学

II. 試材と実験法

原料金属および試料の調製法は第4報とほとんど同様であるので省略するが、Nは英國製テルミットCrを用いて調製した窒化クロムによつて添加し、Cr 20%でNをそれぞれ0%, 0.1%, 0.2%, 0.3%加えた金属および0.2%Nと0.1%Cとを同時に添加した合金を試料とした。これらの試料の記号をそれぞれN-0, N-1, N-2, N-3およびN-Cとする。熔融Fe合金のNの溶解度はCrの添加によつて顕著に増大し^{2)~6)}。Cr-Fe合金に安全確実に合金化しうるN量はCr量の約1/100程度とされている⁷⁾⁸⁾。また熔融Cr-Fe合金のNの溶解度は温度の低いほど大きく⁹⁾¹⁰⁾、したがつて熔解温度はなるべく低いことが望ましいが¹¹⁾、上記各試料の内N-3では熔解温度を下げても気泡の発生はさけられず、本系合金に大気中熔製で安全確実に合金化しうるN量は最大約0.2%であることを知つた。N吸収処理は1250°Cで4h行ない第4報で述べたと同様な方法できわめて高純度のNを用いるよう留意した。N吸収後、検鏡、X線回折、熱膨脹測定、硬度測定などによつて生成オーステナイト相を組織的にしらべた。



Left: Heated at 1150°C for 1/2h and furnace cooled.

Right: Nitrogen absorbed at 1250°C for 4h and furnace cooled.

Photo. 1. Microstructures of 20% Cr-Fe alloys. ×50 (1/2).

III. 実験結果とその考察

1. N吸収による組織変化

Photo. 1 はN吸収前後の各試料の炉冷状態の顕微鏡組織でN吸収後のものは表面より深さ約1.3mmまでを示した。N吸収前N-0はほとんどフェライト単相でありN量が増すと高温度で、もとオーステナイト相であつた部分が次第に増加する。またNを同じく0.2%ずつ含むN-2とN-Cを比べると、もとオーステナイト相であつた部分は0.1%のCを含むN-Cの方が多い。

これらの試料を1250°Cに4h高純度のN雰囲気中で加熱後炉冷すると、各試料とも周辺部はN吸収の温度でオーステナイト単相であつたことを示す組織となり、さらに内部はフェライトと、もとオーステナイトであつた部分との混合組織となつてゐる。これらのもとオーステナイトであつた部分はその分解様式に二種以上あり、ことにN-Cでは周辺部のもと單一オーステナイト相であつた部分(以下單一オーステナイト層と記す)は黒く腐蝕された部分と腐蝕されにくい白い部分とにはつきり分かれている。第4報で述べたようにこの黒く腐蝕された部分は炉冷途中に850°C付近でオーステナイトから変態したフェライト素地の部分であり、N-0およびN-Cに例をとり炉冷試料の表面を強く腐蝕してここにX線をあててみると、いずれもFig. 1のように α -Feのピ

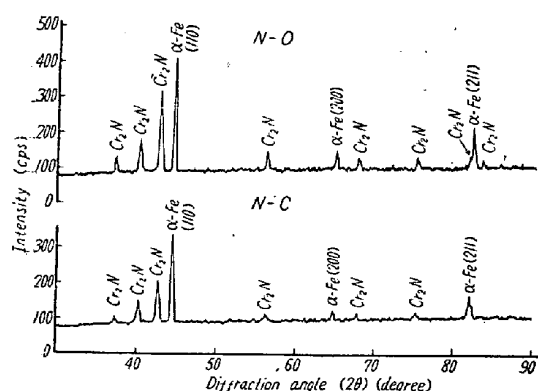


Fig. 1. X-ray diffraction patterns at the surface of "single austenitic zone" of N-0 and N-C specimen which were N-absorbed and furnace cooled.

ークとともにCr₂Nのピークが強くあらわれCrNのそれは認められない。またC量が比較的少いためと思われるがN-Cにおいて炭化物のピークは認められなかつた。つぎに腐蝕されにくい白い部分は上記のオーステナイトからフェライトと主としてCr₂Nとの混合物への変態を起す余裕のなかつたオーステナイトが150°C付近で一部マルテンサイト変態を起した残留オーステナイトの多い部分である。Fig. 2はN吸収後炉冷したN-Cの單一オーステナイト層の液酸中のサブゼロ処理前後の硬度分布で、炉冷状態では表面から少し入つた一部マルテン

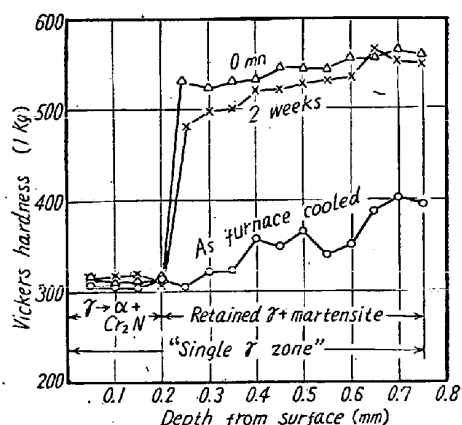


Fig. 2. Hardness distribution of "single austenite zone" of N-absorbed N-C specimen by the subzero-treatment after furnace cooling.

Subzero-treatment: in liquid oxygen, 1/2 h
Holding time at room temp. after furnace-cooling: 0mn, 2weeks

サイト化した部分の硬度は Hv 300~400 であるが、ここではサブゼロ処理によって残留オーステナイトのマルテンサイト化が起り500以上の硬度を示す。またPhoto. 2はN吸収後炉冷したN-Cの單一オーステナイト層の組織を拡大したものであるが、表面に近いオーステナイトから変態したフェライト素地の部分は微細な層状組織を呈しており、さらに内部へ入った一部マルテンサイト化してオーステナイトの残存する部分ではマルテンサイト量は内部へ入るほど多いことが知られる。さて Photo. 1 をみると上記残留オーステナイトとマルテンサイトの混合した部分はいずれの試料でも單一オーステナイト層の内部に存在し、N-C では他のものよりこの部分の面積がはるかに大きい。後述のように (Table 1 および Table 2 参照) N吸収後の單一オーステナイト

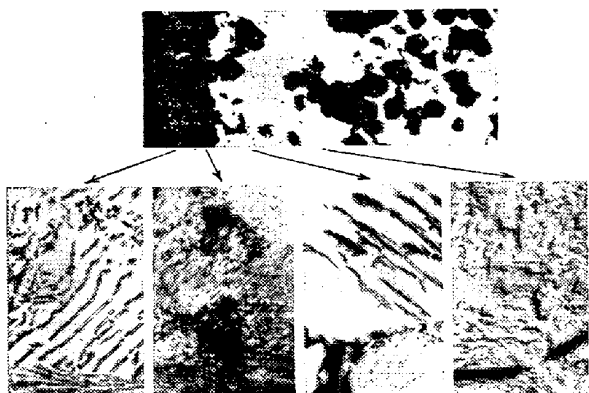


Photo. 2. Microstructures of "single austenite zone" of N-C specimen which was N-absorbed at 1250°C for 4h and furnace-cooled.
×2500 (1/2)

層のN濃度は例えば N-2 では外層において 0.59%, 内層において 0.51% であり、これらは N-C の N濃度 0.61% および 0.52% とそれぞれあまり変わらない。しかし C濃度は前者ではそれぞれ 0.07% および 0.08% であるに対し後者ではそれぞれ 0.16% および 0.18% とはるかに高い。したがつて N-C でフェライトと Cr_2N との混合物への変態を起さなかつた部分の面積が他のものより大きいのは N濃度の影響よりもむしろ C濃度が高いことによると推定される。さらにこの部分がいずれも單一オーステナイト層の内部にあらわれるのは後述のように (Table 2 参照) 単一オーステナイト層の内部の方が表面部より C濃度が高いためと思われる。

つぎに N吸収によつて生成した單一オーステナイト層の深さは炉冷状態で Fig. 3 のように素材の N量の増加とともにわずかずつ増加する。これは N量が多いものほど吸収前に多量のオーステナイト相がすでに存在するため、N吸収量は図のように N量の増加とと

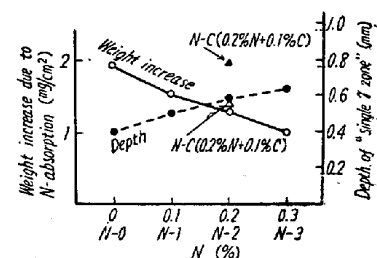


Fig. 3. The effect of the nitrogen content of specimens before the N-absorption on the weight increase and the depth of "single austenitic zone" of N-absorbed specimens.



Photo. 3. Microstructures of specimens (without N-absorption) water-quenched from 1250°C-1/3h × 150 (1/2)

もにかえつて次第に減少する。Photo. 3 は N吸収前の各試料を 1250°C から水冷した場合の顕微鏡組織で、これより N量が増すにつれてオーステナイト相が次第に増加することがわかる。N吸収前の組織がオーステナイト相を多量に含む場合の方が N吸収は容易であることが多いが、これらオーステナイト相中にすでにある程度の N が固溶されている場合にはこのオーステナイト相の量の多少によって N吸収の難易は即断できない。素材に添加された N は同じくオーステナイト生成元素である C の場合と異なり N の吸収を多少とも抑制するといえる。N-C では 0.1%C の添加によって同じ N量の N-2 に比べて單一オーステナイト層の深さもかなり増し N吸収量も

やや多い。

また内部のフェライト中に混在する、もとオーステナイトであった部分は N-1～N-3 では N 吸収によつてあまり増加しないが、N-0 および N-C では若干の増加が認められる。これは後述の Table 3 に示す N 吸収前後のこの部分の N 濃度の差からもうなづけることで、また第 4 報の結果とも一致する。

2. N 吸収試料の N および C の分析結果

Table 1 および Table 2 はそれぞれ 1250°C で 4 h N 吸収を行なつた各試料の單一オーステナイト層および内部のフェライトとオーステナイトの混合組織の N および C の分析結果で、これより N 吸収後の單一オーステナイト層の N 濃度は素材の N 量が増すにつれて次第に増加

Table 1. N content of specimens before and after the nitrogen-absorption.

Specimen mark	N (%)	Before the N-absorption		After the N-absorption	
		Single austenite zone		Mixed zone of ferrite and austenite	
		Outer	Inner	Outer	Inner
N-0	0.04	0.48	0.34	0.11	
N-1	0.11	0.55	0.39	0.13	
N-2	0.23	0.59	0.51	0.23	
N-3	0.33	0.58	0.49	0.36	
N-C	0.24	0.61	0.52	0.31	

Table 2. C content of specimens before and after the nitrogen-absorption.

Specimen mark	C (%)	Before the N-absorption		After the N-absorption	
		Single austenite zone		Mixed zone of ferrite and austenite	
		Outer	Inner	Outer	Inner
N-0	0.04	0.08	0.08	0.03	
N-1	0.04	0.06	0.08	0.03	
N-2	0.05	0.07	0.08	0.04	
N-3	0.04	0.07	0.07	0.03	
N-C	0.13	0.16*	0.18	0.10	

* The C content of the surface layer (depth of which is 0.2mm) was 0.13%.

Table 3. The increment of N content by the nitrogen-absorption.

Specimen mark	Single austenite zone		Mixed zone of ferrite and austenite	
	Outer	Inner	Outer	Inner
N-0	0.44	0.30	0.07	
N-1	0.44	0.28	0.02	
N-2	0.36	0.28	0.00	
N-3	0.25	0.16	0.03	
N-C	0.37	0.28	0.07	

するが、0.2% 程度以上の N 量になると、もはや増加しなくなることがわかる。また Table 3 は吸収前後の N 濃度の差を示したものであるが、これより素材の N 量が増すと N 吸収による N 濃度の増加分はかえつて少くなることが知られる。また N-2 と N-C を比較すると N 吸収による N 濃度の増加は両者においてほとんど等しいことから、C が N 吸収を助長する効果は單一オーステナイト層の N 濃度を増すことよりむしろその深さを増加するにあるといえる。このことは第 4 報の実験結果とも符号する。また單一オーステナイト層の C 濃度が内部の混合組織中のそれより高くなり、C が N 吸収時に單一オーステナイト層中へ内部から拡散吸収される現象は Table 2 から素材の N 量によってそれほど影響されないようである。

3. N 吸収後の不均一材の熱膨脹測定

Cr 10%-Ni 合金

を中性体として N 吸収前後の各炉冷試料を 1050°C まで加熱冷却して示差膨脹を測定した結果を Fig. 4 に示す。加熱途中 900°C 付近より始まり 1050°C 付近で終るフェライトからオーステナイトへの変態は各試料ともそれぞれ N 吸収によつて大となり、また N 吸収試料同志を比べれば N 量の増すにつれて大となる。N-C では炉冷状態で前述のようにかなり多量のオーステナイトを残留するので加熱の途中で 700°C 付近において残留オーステナイトの分解を示す大きな異常膨脹があらわれる。

空冷時の冷却曲線はいずれもオーステナイトの二段変態の起つたことを示すが、その内第一段変態は概してあまり大でない。第二段変態は N 吸収の有無にかかわらず

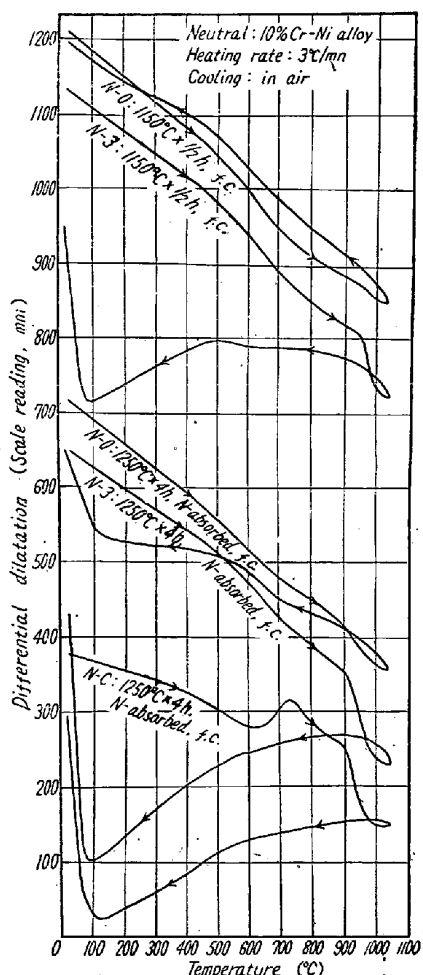
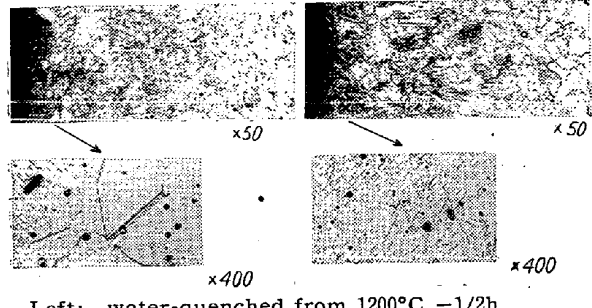


Fig. 4. Differential dilatation curves of 20% Cr-Fe alloys.

N量の高いものほど大で、同一N量のものについて比べればN吸収によつて大となる。

4. 単一オーステナイト層の焼入およびサブゼロ処理に対する挙動



Left: water-quenched from 1200°C -1/2h
Right: subzero-treated in liquid oxygen for 1/2h after water quenching

Photo. 4. Microstructures of N-C specimen which was nitrogen-absorbed.

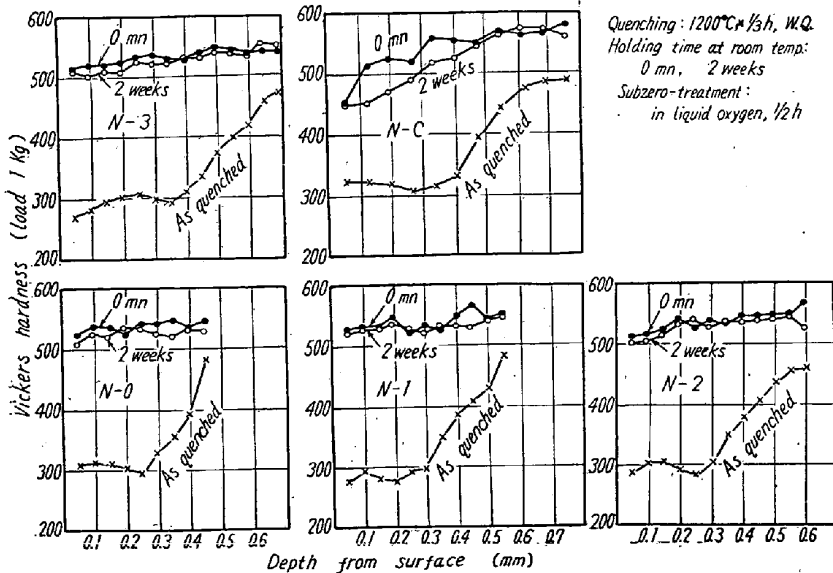


Fig. 5. Hardness distribution of "single austenite zone" after the subzero-treatment due to the intermediate holding time at room temperature after quenching.

N吸収試料を 1200°C より水冷すると Photo. 4 および Fig. 5 のように各試料とも単一オーステナイト層の表面に近い部分にはかなり多量のオーステナイトが残留し Hv 300 近い硬度を示すが、内部に入るにつれて次第にマルテンサイトが多くなり硬度も次第に上昇する。つぎに水冷試料を水冷直後液体酸素中に 1/2 h 浸漬してサブゼロ処理を行なうと、N-C において表面に近い部分にややオーステナイトを残留するのみ他の試料はほとんど一様にマルテンサイト化し Hv 500 以上の硬度を示す。また各試料を水冷後サブゼロ処理を行なう前に常温に二週間放置して常温放置による残留オーステナイトの安定化の程度をしらべると、N-C で表面に近い部分にやや安定化の傾向がみられるのみ他はこれがほと

んどみられない。

5. 単一オーステナイトの焼戻に対する挙動

N吸収試料を水冷した場合主としてその単一オーステナイト層中に残るオーステナイトの焼戻挙動をしらべるために、これらの試料を常温より加熱して示差膨脹変化を測定した結果を Fig. 6 に示す。N-3 のよう

に残留オーステナイトの多いものの膨脹係数は N-0 のようにそれの少いものに比べて大きく、したがつて加熱曲線の傾きは前者の方がはるかにゆるやかである。またいずれの試料も 600°C 附近から残留オーステナイトの分解を示す異常膨脹があらわれる。さらに同じく水冷試料を 600°C に保持して示差膨脹変化をみると Fig. 7 のようにやはり残留オーステナイトの分解による膨脹があらわれる。ただ N-0 と N-1 では残留オーステナイト量が比較的少なくマルテンサイトからの析出による収縮のため、加熱の初期には曲線は下向く傾向がみられる。単純な高 Cr-Fe 合金に N を加えてもその N 濃度が比較的低いときは、そのオーステナイトは焼戻によつて分解しやすいことがしらべてゐる¹⁾が、以上の実験結果からこの種の合

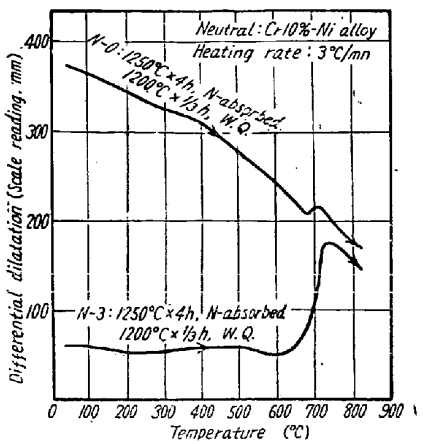


Fig. 6. Differential dilatation curves of N-absorbed and water-quenched specimens.

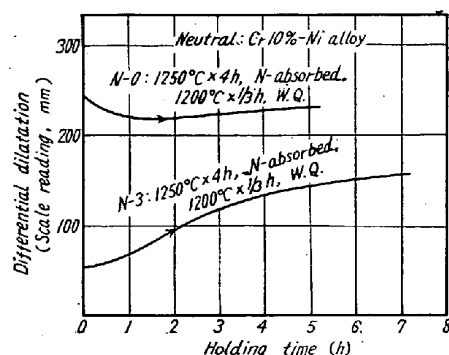


Fig. 7. Differential dilatation curves of N-absorbed and water-quenched specimens by the holding at 600°C.

金では 0.6% におよぶ N が含まれてもそのオーステナ

イトは比較的容易に分解することがしられる。

IV. 総括

20% Cr-Fe 合金のN吸収によるオーステナイト化の状況やそのオーステナイトの熱処理挙動などを素材のN量 0.04%, 0.11%, 0.23% および 0.33%との関係において検討し、あわせて 0.24%N と 0.13%C とが同時に合金されている場合についてもしらべた。得られた結果はつきの通りである。

1. 20% Cr-Fe 合金を純粋なN雰囲気中で 1250°C に 4 h 加熱すると深さ 0.4~0.6 mm の單一オーステナイト層が試料表面にでき、その表層のN濃度は 0.5~0.6% になる。またN吸収量はCを合金させた場合と異なり、N量の増すほどやや減少する。NとCを同時に合金したものではNの吸収は多くなる。

2. 0.24%N と 0.13%C とを同時に含む 20% Cr-Fe 合金をN吸収して得られる單一オーステナイト層中のC濃度は最表面で 0.13%，内部で 0.18% のように素材のそれより高くなる。そのためN吸収後炉冷した状態では單一オーステナイト層中に表面部にトルースタイト、内部ではオーステナイトとマルテンサイトの混合組織を生ずる。N吸収処理中Cはオーステナイト化した表層中へ内部より移動拡散していくが、表面部分はNの高いオーステナイトであるためこの部分のC濃度は素材のそれとあまり変わらない。

3. 20% Cr-Fe 合金はN吸収によつて生じたオーステナイトは炉冷によつてかなりの部分がフェライトと Cr₂N に変るが、この分解によつて生じたフェライトのオーステナイトへの加熱変態は 900°C 付近から始まり 1050°C 付近で終る。また空冷時にはオーステナイトの二段変態がみられるが、第一段変態はN吸収の有無にかかわらずN量の高いものほど小で、同一N量のものについて比べればN吸収によつて小となる。第二段変態は第一段変態の小さいものほど大きくあらわれる。

4. 水冷されたN吸収試料の單一オーステナイト層に残留したオーステナイトのサブゼロ処理に対する感受性はNのみを添加した合金ではきわめて大きく、Cが同時に加えられるとやや小となる。焼入後常温放置によつておこるサブゼロ処理に対する残留オーステナイトの安定化はNのみの添加ではほとんど進まないが、Cの添加でやや促進される。

5. 焼入によつて單一オーステナイト層に残留したオーステナイトは 600°C 付近の焼戻によつて分解し始め 650~700°C では比較的短時間に分解する。

終りに臨み窒素の分析について御援助を頂いた鉄興社の小久保源太郎部長殿に厚くお礼申し上げます。またX線回折についてご便宜を頂いた加藤誠軌氏に深謝いたします。（昭和34年10月寄稿）

文 献

- 1) 岡本、宮川: 鉄と鋼, 45 (1959) 614
- 2) J. Chipman and D. W. Murphy: A.I.M.E., 16 (1935) 179
- 3) M. R. Brick und J. H. Creevy: Stahl und Eisen, 60 (1940) 1114
- 4) 斎藤: 日本国金属学会誌, B-14 (1950) No.4, 5.
- 5) F. C. Langenberg and M. J. Day: A.I.M.E., 15 (1957) 7
- 6) H. Schenck, M. G. Frohberg und H. Grof: Arch. f. Eisenhüttenw., 29 (1958) 673
- 7) G. F. Tisinai, J. K. Stanley and C. H. Samans: Trans. A. S. M., 48 (1956) 356
- 8) J. H. G. Monypenny: Stainless Iron and Steel (1951) Vol. 1, 45
- 9) E. T. Turkdogan and S. Ignatowicz: J.I.S.I., 189 (1958) 242
- 10) F. C. Langenberg: J. Metals, 8 (1956) 1099
- 11) V. F. Zackay, J. F. Carlson and P. L. Jackson: Trans. A.S.M., 49 (1956) 509